



INSTITUTO FEDERAL DE  
EDUCAÇÃO, CIÊNCIA E TECNOLOGIA  
CEARÁ

# Tangente de Perdas e Classificação de Meios

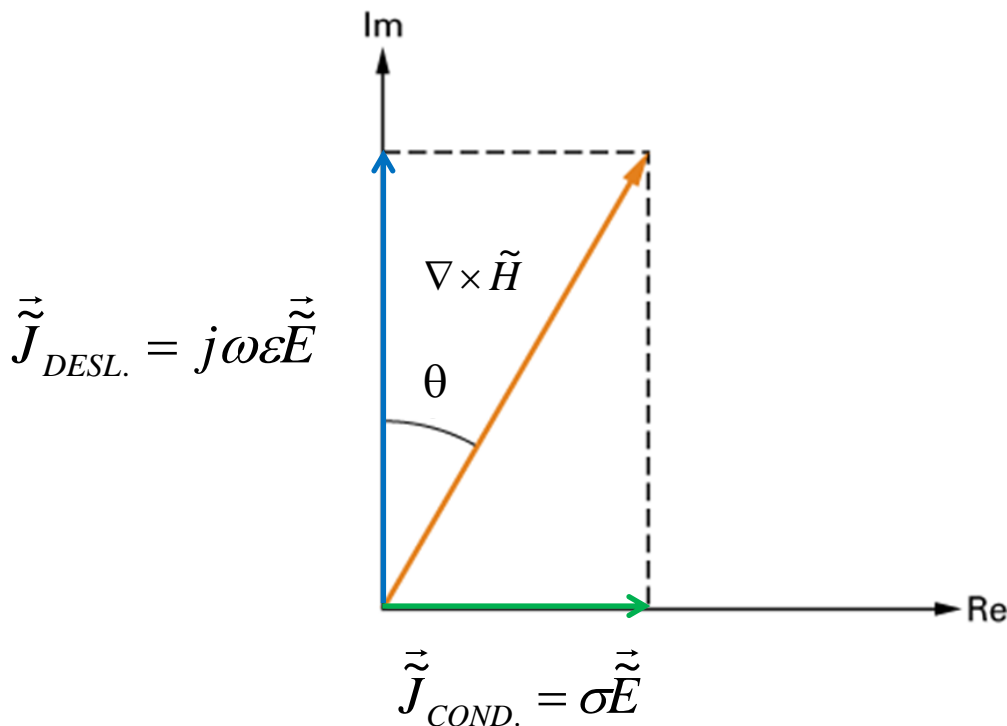
Prof. Fábio Alencar Mendonça

# Tangente de Perdas

A equação de Ampère-Maxwell na forma fasorial é dada por

$$\nabla \times \vec{H} = \underbrace{\sigma \vec{E}}_{\vec{J}_{COND.}} + \underbrace{j\omega\epsilon \vec{E}}_{\vec{J}_{DESL.}} = \vec{J}_{COND.} + \vec{J}_{DESL.}$$

Graficamente:



$$\operatorname{tg} \theta = \left| \frac{\vec{J}_{COND.}}{\vec{J}_{DESL.}} \right| = \frac{\sigma}{\omega\epsilon}$$

# Tangente de Perdas

A razão entre a magnitude do vetor densidade corrente da corrente de condução e a magnitude do vetor densidade de corrente de deslocamento é denominada ***tangente de perdas***, sendo dada por

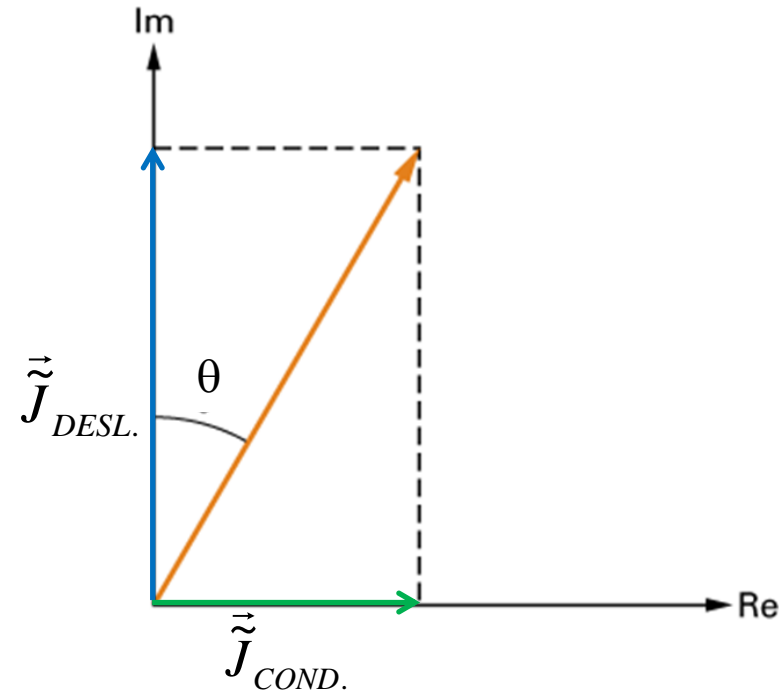
$$\operatorname{tg} \theta = \left| \frac{\tilde{J}_{COND.}}{\tilde{J}_{DESL.}} \right| = \frac{\sigma}{\omega \varepsilon} \Rightarrow \theta = \operatorname{tg}^{-1} \left( \frac{\sigma}{\omega \varepsilon} \right)$$

A tangente de perdas é uma medida da qualidade de um dielétrico.

# Tangente de Perdas

Lembrando que a fase da impedância intrínseca do meio é dada por

$$\theta_{\eta} = \frac{1}{2} \operatorname{tg}^{-1} \left( \frac{\sigma}{\omega \varepsilon} \right) \Rightarrow \theta = 2\theta_{\eta}$$



Note que:

- a) Se  $\theta \rightarrow 0 \Rightarrow J_{\text{CONDUÇÃO}} \ll J_{\text{DESLOCAMENTO}}$  ( $\theta_{\eta} \rightarrow 0$ ), ou seja, o meio tende a um comportamento dielétrico.
- b) Se  $\theta \rightarrow \pi/2 \Rightarrow J_{\text{CONDUÇÃO}} \gg J_{\text{DESLOCAMENTO}}$  ( $\theta_{\eta} \rightarrow \pi/4$ ), ou seja, o meio tende a um comportamento condutor.

# Classificação de Meios

Uma possível classificação de um meio pode ser feita considerando os valores assumidos pela tangente de perdas ( $\sigma/\omega\epsilon$ ):

- $0 < \sigma/\omega\epsilon < 10^{-2}$  : dielétrico imperfeito
- $10^{-2} \leq \sigma/\omega\epsilon \leq 10^2$  : meio genérico com perdas (ou quase condutor)
- $\sigma/\omega\epsilon > 10^2$  : bom condutor

# **Dielétricos Imperfeitos**

$$\sigma/\omega\epsilon < 10^{-2}$$

# Dielétrico Imperfeito

Um meio classificado como dielétrico imperfeito é aquele que possui tangente de perdas pequena, menor que  $10^{-2}$ , ou seja,  $\sigma/\omega\varepsilon \ll 1$ .

Nesse caso específico, as expressões dos parâmetros de onda considerando uma aproximação de uma expansão de uma série binomial podem ser aproximadas por:

$$\begin{aligned}\gamma = \alpha + \beta j &= \sqrt{j\omega\mu(\sigma + j\omega\varepsilon)} = j\omega\sqrt{\varepsilon\mu} \left(1 - j\frac{\sigma}{\omega\varepsilon}\right)^{1/2} \\ &\approx j\omega\sqrt{\varepsilon\mu} \left(1 - j\frac{\sigma}{2\omega\varepsilon}\right) = \underbrace{\frac{\sigma}{2} \sqrt{\frac{\mu}{\varepsilon}}}_{\alpha} + \underbrace{j\omega\sqrt{\varepsilon\mu}}_{\beta}\end{aligned}$$

# Dielétricos Imperfeitos

Portanto, para meios dielétricos imperfeitos:

$$\alpha \approx \frac{\sigma}{2} \sqrt{\frac{\mu}{\epsilon}} = \frac{\sigma}{2} \eta_0 \sqrt{\frac{\mu_R}{\epsilon_R}} \qquad \beta \approx \frac{\omega}{c} \sqrt{\mu_R \epsilon_R}$$

No caso da impedância intrínseca, pode-se verificar que:

$$\eta = \sqrt{\frac{j\omega\mu}{\sigma + j\omega\epsilon}} \Rightarrow |\eta| \approx \eta_0 \sqrt{\frac{\mu_R}{\epsilon_R}} \quad e \quad \theta_\eta \approx 0$$



# Dielétricos Imperfeitos

Ou seja, dielétricos imperfeitos possuem, aproximadamente, a mesma constante de fase e impedância intrínseca de dielétricos perfeitos sem perdas. No entanto, atenuação não nula.

# Dielétrico Imperfeito

Nota:

Para uma expansão em uma série binominal dada por

$$(1+x)^n = 1 + nx + \frac{n(n-1)x^2}{2!} + \dots$$

Quando  $x \ll 1$ :

$$(1+x)^n \cong 1 + nx$$

# Dielétricos Imperfeitos

## Exemplo:

Considere que o solo seco apresenta  $\epsilon_R=3$ ,  $\mu_R=1$  e  $\sigma=10^{-4}$  S/m. A faixa de frequência que ele se comporta como um dielétrico imperfeito é:

$$\frac{\sigma}{\omega\epsilon} = \frac{\sigma}{2\pi f \epsilon_R \epsilon_0} < 10^{-2} \Rightarrow f > \frac{1}{10^{-2}} \frac{\sigma}{2\pi \epsilon_R \epsilon_0} \Rightarrow f > 60MHz$$

Assim, para uma OEM com  $f=1GHz$ :

$$\frac{\sigma}{\omega\epsilon} = \frac{\sigma}{2\pi f \epsilon_R \epsilon_0} = 5,99 \cdot 10^{-4} < 10^{-2}$$

# Dielétricos Imperfeitos

Solo seco:  $\epsilon_R=3$ ,  $\mu_R=1$ ,  $\sigma=10^{-4}$  S/m e  $f=1$ GHz

Expressões exatas:

$$\alpha = 1,08753 \times 10^{-2} \text{ Np/m}$$

$$\beta = 36,3011 \text{ rad/m}$$

$$\eta = 217,51 + j0,06516 \Rightarrow$$

$$|\eta| = 217,5 \Omega \quad e \quad \theta_\eta = 0,0172^\circ$$

Expressões aproximadas:

$$\alpha \approx \frac{\sigma}{2} \sqrt{\frac{\mu}{\epsilon}} = \frac{\sigma}{2} \eta_0 \sqrt{\frac{\mu_R}{\epsilon_R}} = 1,09 \times 10^{-2} \text{ Np/m}$$

$$\beta \approx \frac{\omega}{c} \sqrt{\mu_R \epsilon_R} = 36,40 \text{ rad/m}$$

$$|\eta| \approx \eta_0 \sqrt{\frac{\mu_R}{\epsilon_R}} = 217,51 \Omega \quad e \quad \theta_\eta \approx 0$$

**Bom Condutor**

$$\sigma/\omega\epsilon > 10^2$$

# Bons Condutores

Um meio classificado como bom condutor é aquele que possui tangente de perdas alta, maior que  $10^2$ , ou seja,  $\sigma/\omega\epsilon \gg 1$ . Nesse caso específico, teremos:

$$\left( \sqrt{1 + \left( \frac{\sigma}{\omega\epsilon} \right)^2} \pm 1 \right) \approx \frac{\sigma}{\omega\epsilon}$$

Assim, pode-se verificar que  $\alpha$ ,  $\beta$  e  $\eta$  podem ser aproximadas por:

$$\alpha^{(N)} = \beta \cong \sqrt{\pi f \mu_R \mu_0 \sigma} \quad |\eta| \cong \frac{\alpha}{\sigma} \sqrt{2} \quad \theta_\eta \cong \frac{\pi}{4} \text{ rad} = 45^\circ$$

Por exemplo, para o cobre ( $\sigma = 5,8 \times 10^7 \text{ S/m}$ ,  $\epsilon_r = 1$ ,  $\mu_r = 1$ ) em  $f = 100 \text{ MHz}$  tem  $\eta \approx 3,7 \text{ m}\Omega$ .

# Bons Condutores

Exemplo:

Considere que o cobre apresenta  $\epsilon_R=1$ ,  $\mu_R=1$  e  $\sigma=5,8 \times 10^7$  S/m. A faixa de frequência que ele se comporta como um bom condutor é:

$$\frac{\sigma}{\omega\epsilon} = \frac{\sigma}{2\pi f \epsilon_R \epsilon_0} > 10^2 \Rightarrow f < \frac{1}{10^2} \frac{\sigma}{2\pi \epsilon_R \epsilon_0} \Rightarrow f < 1,04 \times 10^{16} \text{ Hz}$$

Assim, para uma OEM com  $f=1\text{GHz}$ :

$$\frac{\sigma}{\omega\epsilon} = \frac{\sigma}{2\pi f \epsilon_R \epsilon_0} = 1,04256 \times 10^9 > 10^2$$

# Bons Condutores

Cobre:  $\epsilon_R=1$ ,  $\mu_R=1$ ,  $\sigma=5,8 \times 10^7$  S/m e  $f=1$  GHz

Expressões exatas:

$$\alpha = 4,78513 \times 10^5 \text{ Np/m}$$

$$\beta = 4,78513 \times 10^5 \text{ rad/m}$$

$$\eta = 0,00825 + j0,00825 \Rightarrow$$

$$|\eta| = 11,668 \times 10^{-3} \Omega \quad e \quad \theta_\eta = 45^\circ$$

Expressões aproximadas:

$$\alpha \stackrel{(N)}{=} \beta \cong \sqrt{\pi f \mu_R \mu_0 \sigma} = 4,7851 \times 10^5$$

$$|\eta| \cong \frac{\alpha}{\sigma} \sqrt{2} = 11,7 \times 10^{-3} \Omega$$

$$\theta_\eta \cong \frac{\pi}{4} \text{ rad} = 45^\circ$$



# Meio Geral com Perdas

Para uma situação em que

$$10^{-2} \leq \sigma/\omega\varepsilon \leq 10^2$$

devem ser consideradas as expressões gerais exatas e o meio é classificado com sendo um meio geral com perdas.



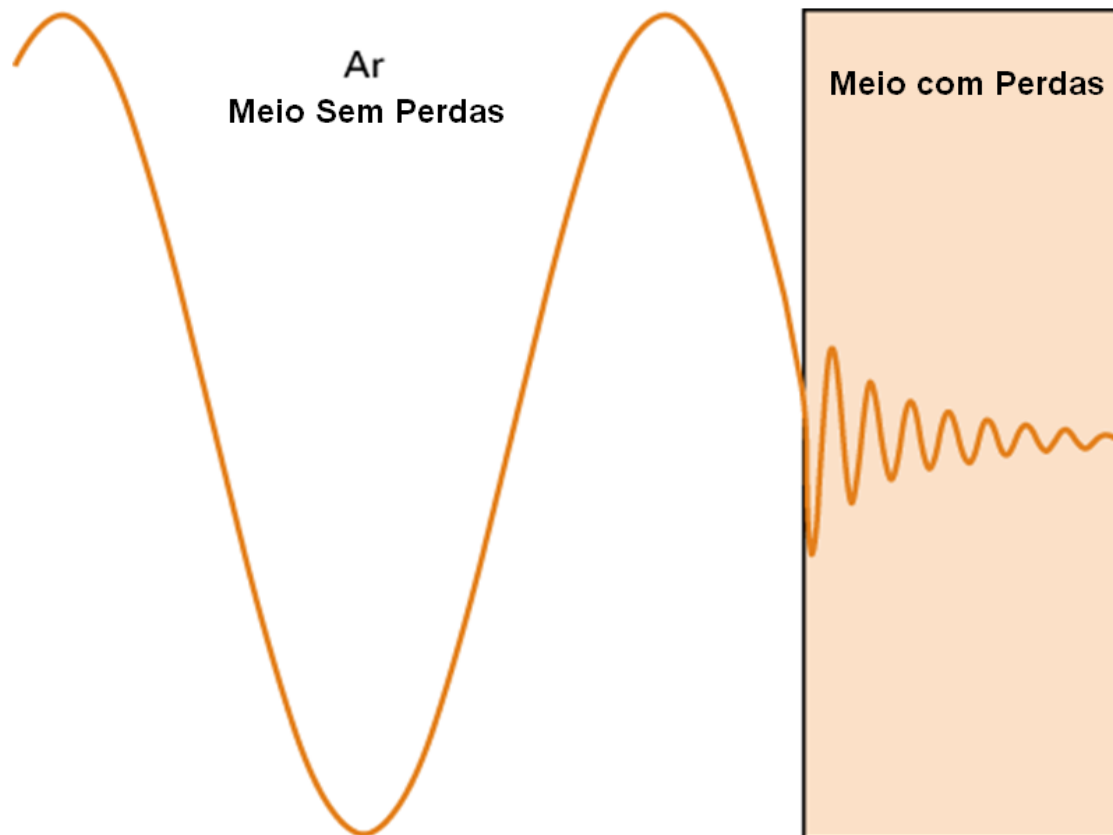
**INSTITUTO  
FEDERAL**  
Ceará



# Profundidade Peticular

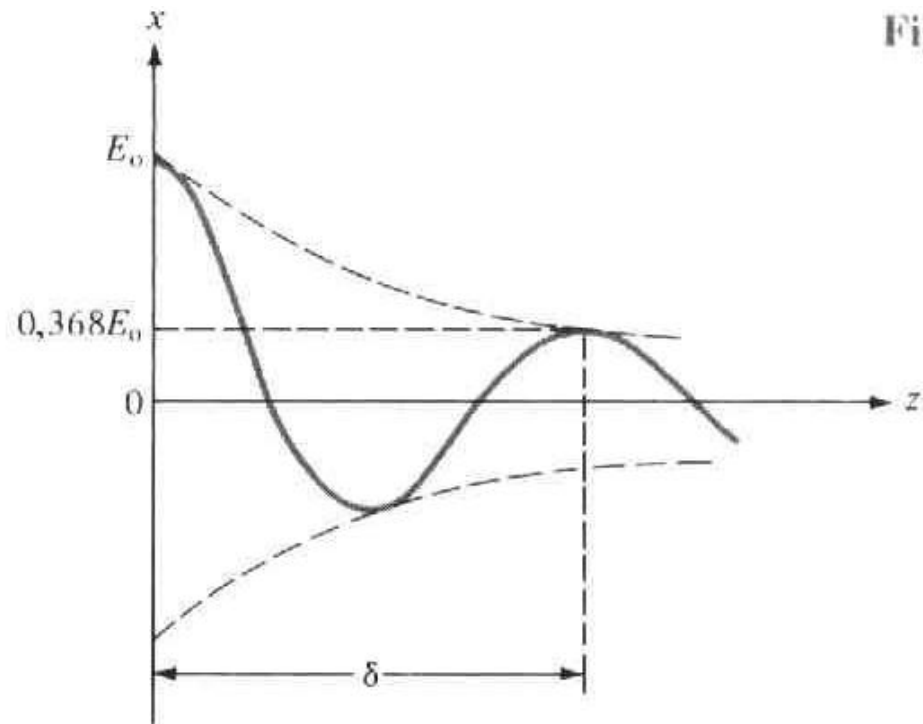
# Profundidade pelicular

- Comparativo da propagação de uma OEM em um meio sem perdas e com perdas:

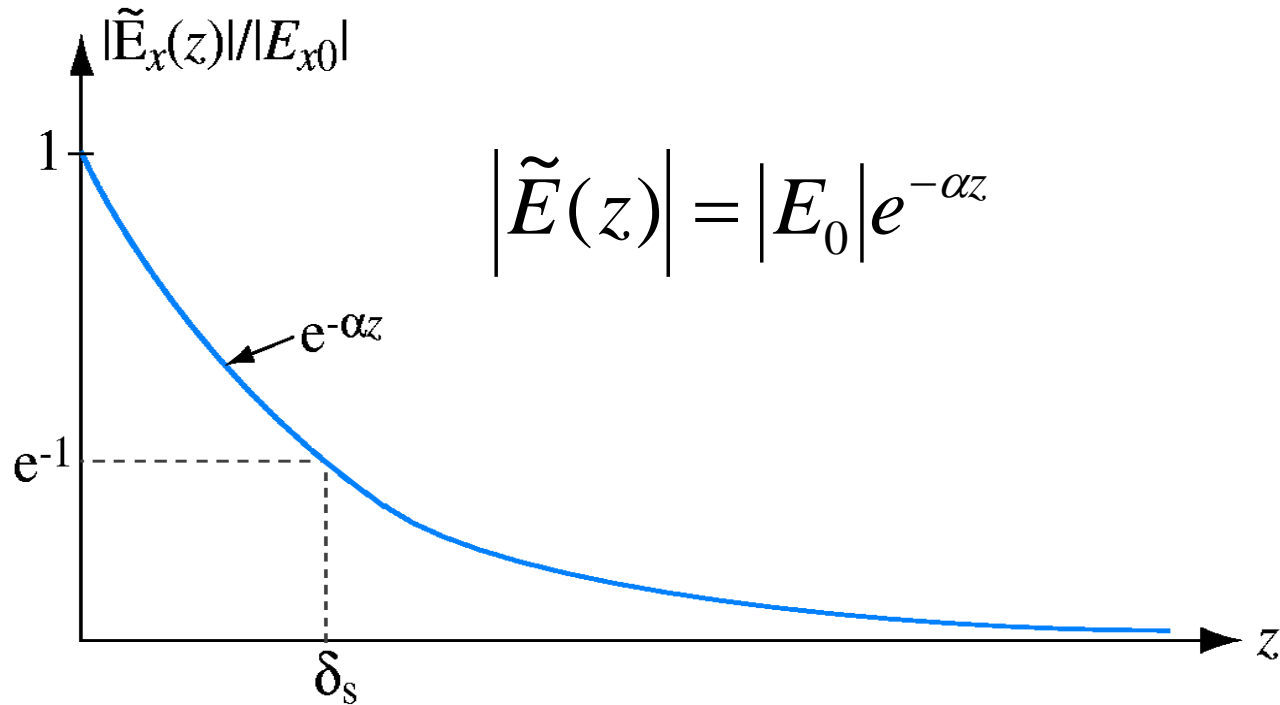


# Profundidade Pelicular

- **Profundidade de penetração pelicular ( $\delta$ ):** é definida como sendo a distância que uma OEM percorre até que sua amplitude do campo elétrico decresça por um fator  $e^{-1}$ , ou seja, seja reduzida de  $E_0$  na origem para  $E_0/e$  ou  $\approx 37\%E_0$ . Portanto, representa uma medida da profundidade de penetração de um OEM em um meio.



# Profundidade Pelicular



$$|E(z = \delta)| = |E_0|.e^{-\alpha\delta} = |E_0|.e^{-1} \Rightarrow \alpha\delta = 1 \Rightarrow$$

Profundidade pelicular:  $\delta = \frac{1}{\alpha} \quad [\text{m}]$

# Profundidade Pelicular

- Para um dielétrico perfeito com  $\sigma=0$  e  $\alpha=0$ . Assim  $\delta \rightarrow \infty$ .
- Para um condutor perfeito com  $\sigma = \infty$  e  $\alpha = \infty$ . Assim  $\delta=0$ .

# Profundidade Pelicular

profundidade pelicular para bons condutores

$$\delta \approx \frac{1}{\sqrt{\pi \mu f \sigma}},$$

profundidade pelicular para o cobre

$$\delta_{\text{Cu}} \approx \frac{66}{\sqrt{f}} \text{ mm} \quad (f \text{ em Hz}),$$

Tabela 9.2. Profundidade pelicular para alguns materiais,  $\delta$  (m), em frequências diferentes,  $f$

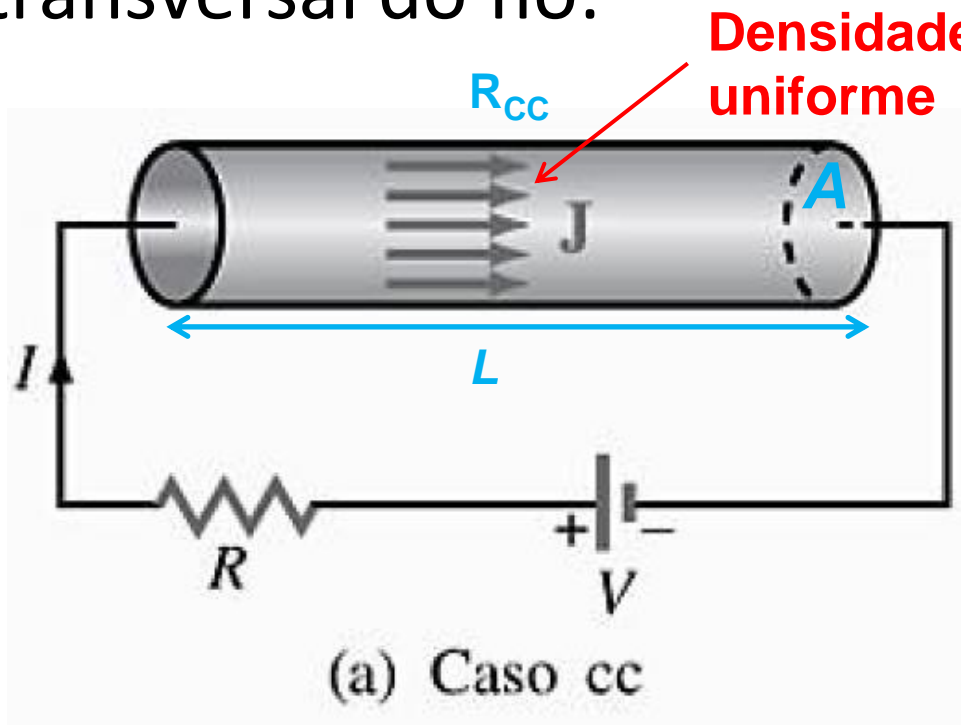
Material	$f = 60 \text{ Hz}$	1 kHz	100 kHz	1 MHz	100 MHz	1 GHz
Cobre	$8,61 \times 10^{-3}$	$2,11 \times 10^{-3}$	$2,11 \times 10^{-4}$	$6,67 \times 10^{-5}$	$6,67 \times 10^{-6}$	$2,11 \times 10^{-6}$
Ferro	$6,5 \times 10^{-4}$	$1,6 \times 10^{-4}$	$1,6 \times 10^{-5}$	$5,03 \times 10^{-6}$	$5,03 \times 10^{-7}$	$1,6 \times 10^{-7}$
Água do mar	32,5	7,96	0,796	0,252	$2,66 \times 10^{-2}$	$1,28 \times 10^{-2}$
Terreno rural	649,7	159,2	15,92	5,233	1,99	1,986



# Condução de Corrente em um Bom Condutor – Efeito Pelicular

# Efeito pelicular

Quando uma tensão CC é aplicada à extremidades de um fio condutor, a densidade de corrente  $J$  que percorre o fio tem uma densidade uniforme ao longo da seção transversal do fio:



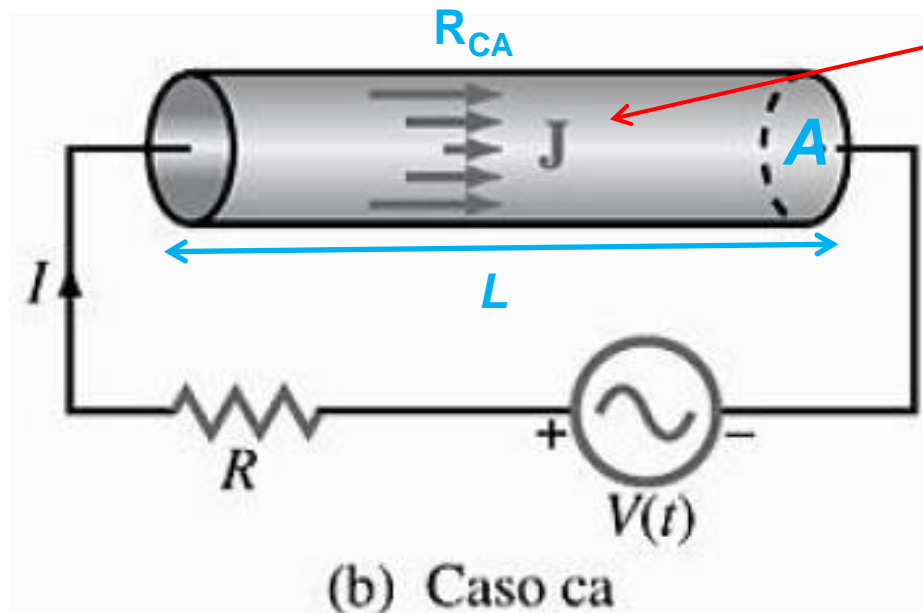
Resistência CC

$$R_{cc} = \frac{L}{\sigma A}$$

$L$  = comprimento do fio  
 $A$  = área da seção transversal  
 $\sigma$  = condutividade elétrica do material

# Efeito pelicular

No caso de uma tensão CA, não é o que acontece. A densidade de corrente  $J$ , variante no tempo, é máxima ao longo de seu perímetro e diminui exponencialmente como uma função da distância em direção ao eixo. Esse fenômeno é chamado de **efeito pelicular**:



Densidade de corrente  
não uniforme

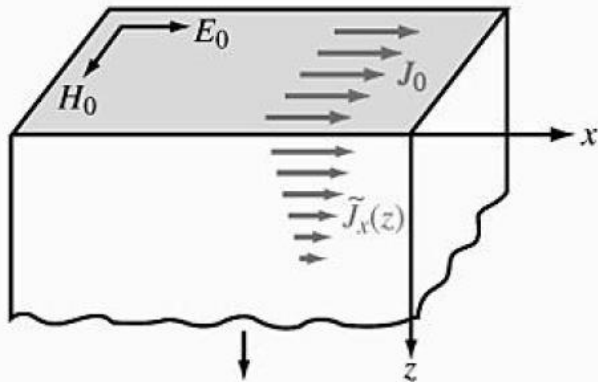
Resistência CA

$R_{CA}?$

# Cálculo da Resistência CA

# Efeito pelicular

A resistência CA é obtida considerando a densidade de corrente uniforme numa espessura correspondente a uma profundidade pelicular ( $\delta$ ) no condutor.

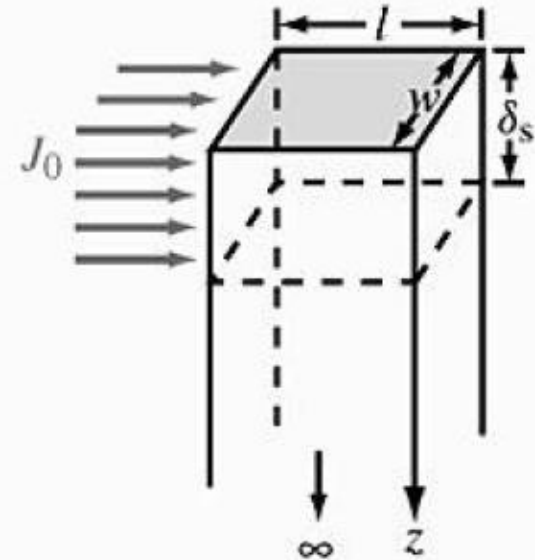


(a) Decaimento exponencial de  $\tilde{J}_x(z)$

$$\tilde{\mathbf{H}}(z) = \hat{\mathbf{y}} \frac{E_0}{\eta_c} e^{-\alpha z} e^{-j\beta z}$$

$$\tilde{\mathbf{E}}(z) = \hat{\mathbf{x}} E_0 e^{-\alpha z} e^{-j\beta z}$$

$$\tilde{J}_x(z) = \sigma E_0 e^{-\alpha z} e^{-j\beta z} = J_0 e^{-\alpha z} e^{-j\beta z}$$



(b)  $J_0$  equivalente ao longo de uma profundidade  $\delta_s$

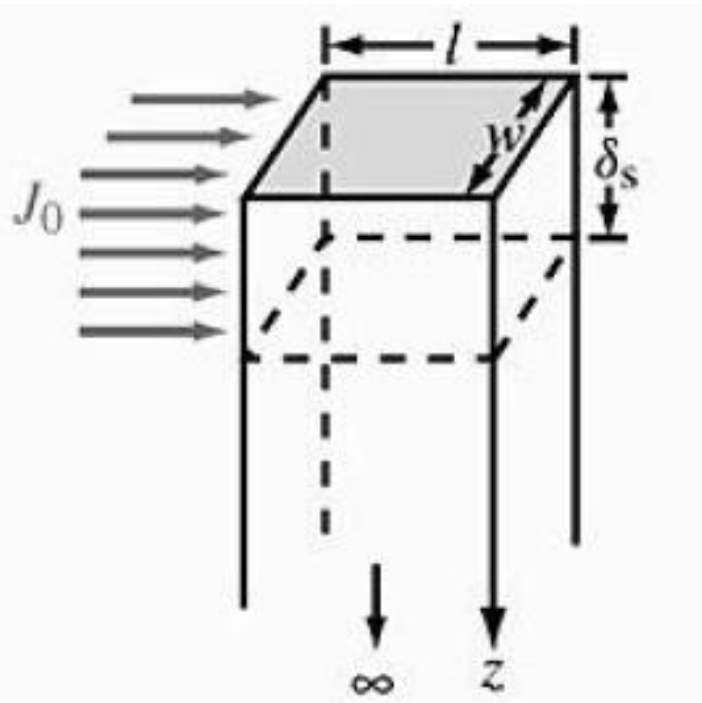
# Efeito pelicular

Portanto, por exemplo, a resistência CA para uma placa condutora de comprimento  $l$  e largura  $w$  é definida em termos da profundidade pelicular como sendo:

$$R_{CA} = \frac{l}{\sigma \delta w} = R_S \frac{l}{w}$$

em que  $R_S = 1/\sigma \delta$  ( $\Omega/\text{m}^2$ ) é a **resistência superficial**. Para um bom condutor:

$$R_S = \frac{1}{\sigma \delta} = \sqrt{\frac{\pi f \mu}{\sigma}}$$

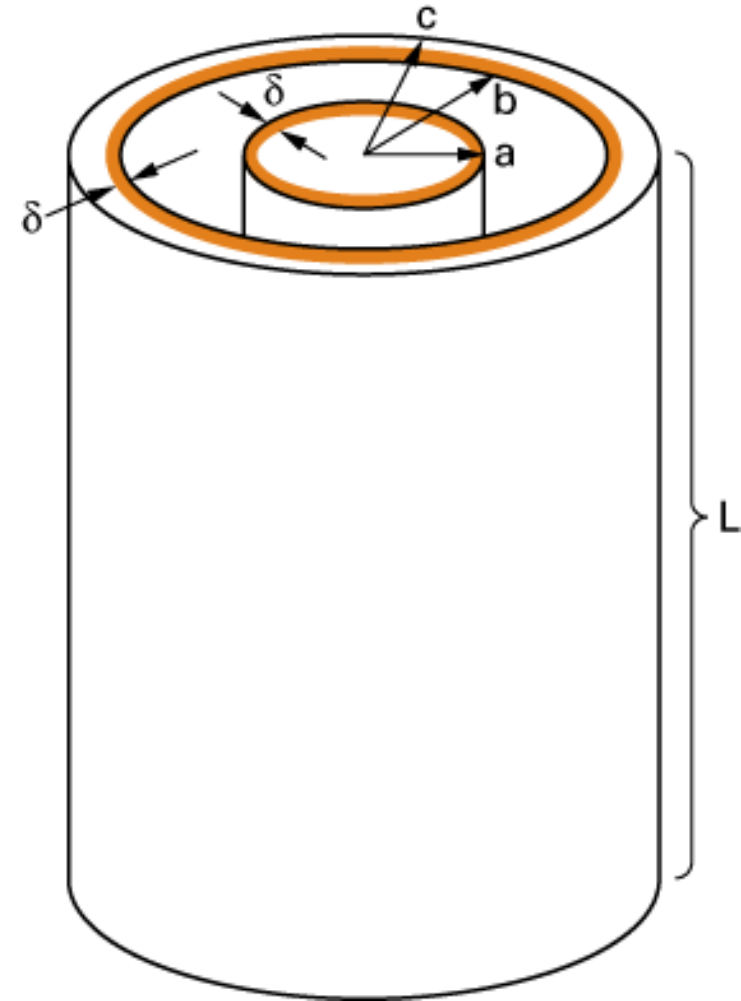


# Efeito pelicular

## Exemplo:

O conceito de resistência CC e CA (pelicular) pode ser usado para obter uma expressão da resistência distribuída de um cabo coaxial mostrado na figura ao lado. Primeiro, deve-se admitir que a profundidade pelicular seja consideravelmente menor que a espessura dos condutores interno e externo do cabo coaxial. Assim, a resistência para um comprimento  $L$  de cabo coaxial é a combinação série da resistência (CC ou CA) do condutor interno,  $R_{int(CC/CA)}$ , e a resistência do condutor externo,  $R_{ext(CC/CA)}$ , ou seja:

$$R_{Total(CC/CA)} = R_{int(CC/CA)} + R_{ext(CC/CA)}$$



# Efeito pelicular

Expressão para  $R_{\text{total}(CA)}$  do cabo coaxial:

$$R_{Total\ (CA)} = R_{int(CA)} + R_{ext(CA)}$$

Resistência CA do condutor interno:  $R_{int(CA)} = \frac{1}{\sigma} \frac{L}{\delta 2\pi a}$

Resistência CA do condutor externo:  $R_{ext(CA)} = \frac{1}{\sigma} \frac{L}{\delta 2\pi b}$

$$R_{Total\ (CA)} = R_{int(CA)} + R_{ext(CA)} = \frac{1}{\sigma} \frac{L}{\delta 2\pi a} + \frac{1}{\sigma} \frac{L}{\delta 2\pi b} = \frac{L}{2\pi} \left( \frac{1}{a} + \frac{1}{b} \right) \frac{1}{\sigma \delta} \Rightarrow$$

$$R'_{CA} = \frac{R_{Total\ (CA)}}{L} = \frac{1}{2\pi} \left( \frac{1}{a} + \frac{1}{b} \right) \sqrt{\frac{\pi f \mu}{\sigma}}$$



# Efeito pelicular

Expressão para  $R_{\text{total}(CC)}$  do cabo coaxial:

$$R_{Total\ (CC)} = R_{int(CC)} + R_{ext(CC)}$$

Resistência CC do condutor interno:  $R_{int(CC)} = \frac{L}{\sigma S_a} = \frac{L}{\sigma \pi a^2}$

Resistência CC do condutor externo:  $R_{ext(CC)} = \frac{L}{\sigma S_b} = \frac{L}{\sigma \pi [c^2 - b^2]}$

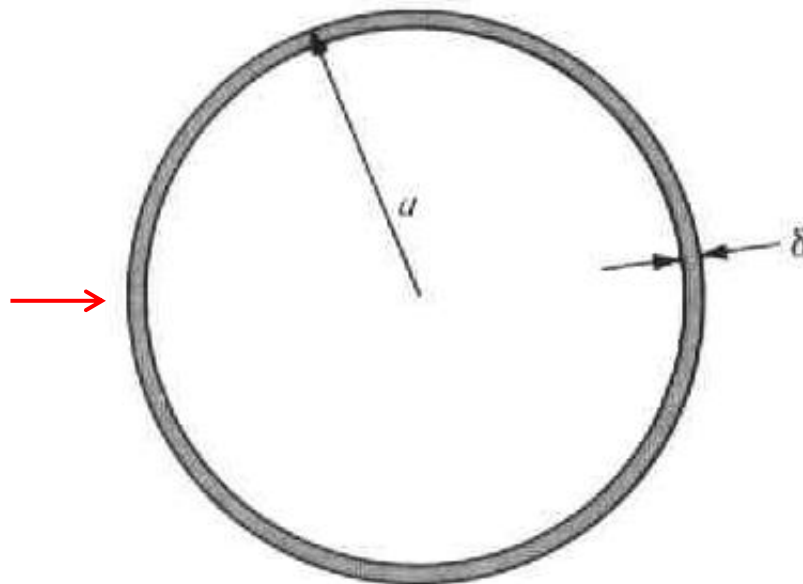
$$R_{Total\ (CC)} = R_{int(CC)} + R_{ext(CC)} = \frac{L}{\sigma \pi a^2} + \frac{L}{\sigma \pi [c^2 - b^2]} \Rightarrow$$

$$R'_{cc} = \frac{R_{Total\ (CC)}}{L} = \frac{1}{\sigma \pi} \left( \frac{1}{a^2} + \frac{1}{[c^2 - b^2]} \right)$$

# Efeito pelicular

Em frequências muito altas a maior parte da corrente percorre uma fina camada externa do fio. Se o material fosse um condutor perfeito, a corrente percorre completamente a superfície do fio.

**Corte transversal de um fio  
condutor com raio  $a$**



Profundidade pelicular em altas frequências,  $\delta \ll a$ .

# Efeito pelicular

O efeito pelicular aparece de diferentes formas em várias situações. Por exemplo:

- Atenuação em guias de ondas
- Blindagem eletromagnética
- Resistência efetiva ou CA em linhas de transmissão



**INSTITUTO  
FEDERAL**  
Ceará